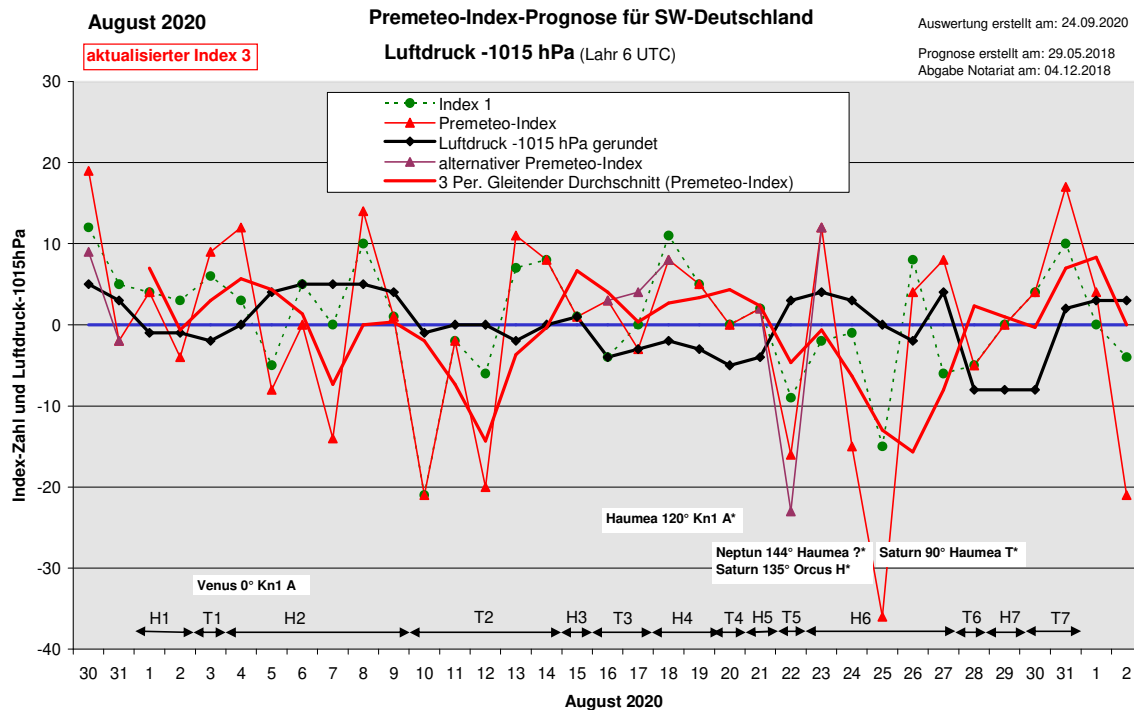


## Wetterlagenverlauf August 2020 im Vergleich zur Premeteo-Indexprognose für Südwest-Deutschland

(Im Diagramm sind über der Datumsachse die real eingetreten Hoch- und Tiefdruckphasen durch Doppelpfeile eingetragen. Ausschlaggebend für die Evaluation ist der tägliche Premeteo-Index, in der dünneren, roten Linie mit Dreieckspunkten dargestellt. Ein negativer Premeteo-Index zeigt die Wahrscheinlichkeit für eine zyklonale Tiefdruckströmung, ein positiver Premeteo-Index die Wahrscheinlichkeit für eine antizyklonale Hochdruckströmung an.

Die Wetterlagenbeschreibungen wurden anhand der Berliner Wetterkarten erstellt. Ausschlaggebend ist die Europa-Bodenkarte um 0 UTC, die feiner skalierte 12 UTC-Karte von Mitteleuropa wird nur bei einem Wetterlagenwechsel für die Einordnung des Tages hinzugezogen. Am Ende des Dokuments befinden sich die Tabellen und Konstellationen, die dem Diagramm zugrunde liegen.)



**Zusammenfassung:** Der August 2020 war nun der erste Monat dieses Jahres, in dem eine reichliche Niederschlagsmenge zu verzeichnen war, die zum Teil auf Gewitterbildungen zurückging. Interessant ist, dass es zu einer Umstimmung der Niederschlagsneigung erst mit dem Exaktwerden der Konjunktion von Mars mit dem Mondapogäum am 9. August kam, die als ein starker Tiefdruckaspekt bekannt ist. (Da Mars am 9. September in seiner Relativbewegung zur Erde rückläufig wird, lässt sich das Phänomen bei seiner zweiten Konjunktion am 23. September wieder beobachten!)

Der Luftdruck fiel deutlich ab, aber die Hauptniederschläge vollzogen sich erst zwischen dem 12. und 18. August, also zeitlich verspätet gegenüber dem Premeteo-Index, der sich dann hauptsächlich wieder im flach positiven Bereich bewegte.

Interessant ist auch der Zeitraum vom 24. bis 27. wo der Luftdruck den Verlauf des negativen Premeteo-Index nur auf einem relativ hohen Niveau abbildete, so dass die real eingetretene Hochdruckphase 6 dann einen hohen negativen Premeteo-Indexwert erhielt.

Das Gesamtergebnis der Premeteo-Prognose mit 21 richtig vorhergesagten Tagen bezüglich der zyklonalen oder antizyklonalen Wetterlagen ist jedoch nicht schlecht, auch wenn der mittlere Premeteo-Index pro Tag bei den Hochdruckwetterlagen dieses Mal, was nur selten vorkommt, negativ ausfiel. Mit -0,33 war er dabei aber deutlich weniger negativ als der Premeteo-Index pro Tag bei den Tiefdruckwetterlagen, der einen von Wert -1,15 erreichte.

Die wärmsten Tage in Lahr mit Tagesmitteltemperaturen von 26,3°C bis 26,8° C waren der 1., 8., 11. und 12. August. Sie gingen einher mit Ceres 180° Orcus A\*, Ceres 144° Varuna H\*, Vesta 60° Sedna H\*, Merkur 150° Pallas T / 144° Neptun TW und Ceres 72° GaZ W\*.

Das Minimum der Tagesmitteltemperaturen wurde in Lahr mit 14,5°C und 15,7°C am 30. und 31. August erreicht mit Venus 72° Uranus AK? / 180° Pluto HK? / 90° Juno A / 90° Apogäum Hf K.

Der höchste Luftdruck des Monats trat in Lahr um 6 UTC mit 1020 hPa am 8. ein mit Ceres 144° Varuna H\* und Vesta 60° Sedna H\*.

Der tiefste Luftdruck in Lahr um 6 UTC wurde vom 28. bis 30. mit 1007,3 hPa, 1006,7 hPa und 1007,2 hPa verzeichnet. Dies ging einher mit Venus 72°GSZ T / 135° Ceres AW / 45°Sonne AK und Merkur 144° Apogäum T / 144° Eris H / 45° Varuna T.

### **Beschreibung der einzelnen Wetterphasen:**

**Hochdruckphase 1:** Am 1. August um 0 UTC dehnte Tief Ellen mit Kern südlich von Island seinen Isobarenbereich bis über Südwestdeutschland aus. Dies geschah mit einem Tag Verspätung gegenüber dem negativen Premeteo-Index des Vortags. Doch um 12 UTC hatte die Strömung über der Region wieder eine antizyklonale Form, die am 2. durch das Azorenhoch aufrechterhalten wurde. Der Premeteo-Index summierte über die 2-tägige Hochdruckphase auf 0.

**Tiefdruckphase 1:** Das Tiefdrucksystem Ellen mit Kernen über Island und Nordmeer wurde am 3. für einen Tag wetterwirksam und erbrachte an einigen Stationen des Südwestens kräftige Niederschläge. Es trat gegenüber dem Premeteo-Index um einen Tag verspätet ein. Der Premeteo-Index hatte einen Wert von +9.

**Hochdruckphase 2:** Am 4. übernahm wieder das Azorenhoch mit Hoch Detlef über der Biskaya die Regie. Hoch Detlef erreichte schon um 0 UTC des 5. mit seinem Kern Süddeutschland, bewegte sich zum 6. nach Nordpolen und erreichte am 7. das Baltikum, wo es bis zum 9. verharrte. Am 7. hatte der Premeteo-Index den Wert von -14 nur aus Index 2 und 3, während er am 8. auf +14 anstieg, mit 10 Punkten aus Index 1, und die Hochdruckwetterlage noch bis zum 9. stabilisierte. Der Premeteo-Index summierte über die 6-tägige Hochdruckphase auf +5.

**Tiefdruckphase 2:** Am 10. dehnte Tief Heike mit Kern über Nordfrankreich seinen Isobarenbereich flach bis nach Westdeutschland aus und destabilisierte die warme Luftmasse über unserer Region, so dass es lokal zu Gewittern und kräftigen Schauern kam, die die Trockenheit in der Natur etwas linderten. Tief Heike veränderte seine Position nur wenig: am 11. lag sein Kern über Westfrankreich, wanderte am 12. nach Nordwestfrankreich und von da in die Beneluxländer, wo er am 13. über den Niederlanden lag. Die Zyklonalität bildete sich im Luftdruckverlauf weit geringer ab, als beim Premeteo-Index, da die Region auf 500 hPa bis zum 12. überwiegend im Bereich eines Höhenkeils lag. Am 12. hatte der Premeteo-Index den Wert -20, am 13. schon +11, aber die zyklonale Strömung durch das sich fast stationär verhaltende Tief Heike blieb weiter erhalten, ebenso am 14. als Tief Heike noch über den Niederlanden lag. Der Premeteo-Index summierte über die 5-tägige Tiefdruckphase auf -24.

**Hochdruckphase 3:** Am 15. reichte ein Keil des Azorenhochs bis über Südwestdeutschland. Der Premeteo-Index hatte einen Wert von +1.

**Tiefdruckphase 3:** Das okkludierte Tief Ingrid mit Kernen über der nördlichen Biskaya und über den Ostpyrenäen übernahm am 16. die Regie und verlagerte sein Zentrum zum 17. über den Ärmelkanal. Der Premeteo-Index summierte über die 2-tägige Tiefdruckphase auf 0.

**Hochdruckphase 4:** Am 18. wurde Hoch Frederik über den Pyrenäen strömungsbestimmend. Sein Kern bewegte sich zum 19. nach Süddeutschland. Der Premeteo-Index summierte über die 2-tägige Hochdruckphase auf +13.

**Tiefdruckphase 4:** Tief Jantra dehnte am 20. für einen Tag seinen Isobarenbereich bis nach Südwestdeutschland aus. Der Premeteo-Index hatte den Wert 0.

**Hochdruckphase 5:** Am 21. übernahm für einen Tag noch mal Hoch Frederik über dem Balkan die Regie. Der Premeteo-Index hatte einen Wert von +2.

**Tiefdruckphase 5:** Auch nur für einen Tag dehnte sich T-System Jantra am 22. bis über unsere Region aus und brachte Niederschlag. Der Premeteo-Index hatte einen Wert von -16.

**Hochdruckphase 6:** Gemäß dem Premeteo-Index herrschte am 23. bereits wieder eine antizyklonale Strömung durch Hoch Gundmar mit Kernen über Nordspanien und der Schweiz. Am 24. lagen die beiden Kerne des Hochs über der Biskaya und Süddeutschland. Dann aber fiel der Premeteo-Index zum 25. rapide ab, was sich im Verlauf des Luftdrucks nur sehr schwach abzeichnete und wobei der Luftdruck sein Minimum in Übereinstimmung mit dem geglätteten Premeteo-Index ausbildete. Hoch Gundmar verblieb - sich abschwächend - mit seinem Kern im süddeutschen Raum, während sich im Norden Sturmtief Kirsten mit Kern bei Irland langsam nach Osten bewegte und mit seinen Wolkenfeldern allmählich ganz Deutschland überzog, aber im Südwesten keinen Niederschlag brachte. Um 0 UTC des 26. hatte der Isobarenbereich von Tief Kirsten auch Südwestdeutschland umfasst, doch bis 12 UTC stellte sich die Strömung bereits um und wurde am 27. durch das Azorenhoch mit einem zweiten Kern über Westfrankreich wetterbestimmend. Der Premeteo-Index summierte über die 5-tägige Hochdruckphase auf -27.

**Tiefdruckphase 6:** Am 28. schaffte es Tief Lynn über Großbritannien seinen Einfluss bis über Südwestdeutschland auszudehnen. Der Premeteo-Index hatte einen Wert von -5.

**Hochdruckphase 7:** Am 29. um 0 UTC lag der Kern von Tief Lynn noch über der Nordsee, doch um 12 UTC hatte sich über Südwestdeutschland schon eine flache Hochdruckströmung ausgebildet, die am 30. um 0 UTC als flache antizyklonale Zone zwischen Tief Lynn im Norden und Tief Marlis über dem Golf von Genua fortbestand, so dass dieser Tag als überwiegend antizyklonal eingeordnet wurde. Der Premeteo-Index hatte den Wert 0.

**Tiefdruckphase 7:** Um 12 UTC des 30. hatte sich über unserer Region schon eine zyklonale Strömung eingestellt, die um 0 UTC des 31. in den Isobarenbereich von Tief Marlis mit Kern über Osteuropa übergang. Die beiden letzten Tage des August hatten einen positiven Premeteo-Index, und der Luftdruck stieg vom 30. zum 31. auch kräftig an, aber Merkur 144° Apogäum T um 17:25 UTC des 29. schien in Verbindung mit Merkur 45° Varuna T um 12:12 UTC des 30. wirksamer zu sein als Merkur 144° Eris H. Die antizyklonale Strömung konnte sich erst einen Tag verspätet am 1. September durchsetzen. Der Premeteo-Index summierte über die 2-tägige Tiefdruckphase auf +21.

SW-D befand sich an 18 Tagen im Einflussbereich antizyklonaler Strömung. Die Summe des prognostizierten Premeteo-Index für diese Tage ergab -8. Dies entsprach einer Indexzahl von -0,33 pro Tag.

An 13 Tagen befand sich SW-D im Einflussbereich zyklonaler Strömung. Die Summe des prognostizierten Premeteo-Index für diese Tage ergab -15. Dies entsprach einer Indexzahl von -1,15 pro Tag.

Die Prognose durch die Premeteo-Wettersymbole war an 5 Tagen falsch (am 4., 7., 10., 12. und 13.), an 8 Tagen richtig und an 18 Tagen tendenziell richtig.

24.09.2020

August 2020



Prognose für SW-Deutschland

01.08.2020

aktualisierter Index 3

Vom 1. - 18. Kn2 0° GaZ A\*, vom 3. - 5. Venus 0° Kn1 A, am 7. Merkur 0° Varuna A, vom 7. bis 13. Mars 0° Apo T, vom 15. bis 21. Mars 0° Eris A, am 17./18. Merkur 0° Sonne H, vom 19. - 23. Vesta 0° Varuna A\*, vom 25. - 31. Eris 0° Apo A\*, vom 26. Merkur 0° Orcus A.

Die rot markierten Aspekte im Index 3 sind Aspekte, bei denen der ursprüngliche Konjunktionsplanet den höheren Rang hat als der Partnerplanet. Das bedeutet, dass der Konjunktionsplanet bei diesen Aspekten immer als Planet 2 auftritt. Diese Aspekte werden ab Januar 2020 nicht mehr angerechnet.

Langsamläufer-Impulse			H*	T*	T*			2H*		
Schnellläufer-Impulse	2H, T	2H, T	3H				2H, T		H, T, Tf	Tf, 2H, T
Temperaturimpulse	K	2K?, K			2W		W	K		K?
Premeteo-Index zyklonal, + antizyklonal (Index 1+2+3)	4	-4	9	12	-8	0	-14	14	1	-21
Pre.IX (ALTERNATIV)										
Index 1 (12 - 12 UTC) exakte Aspekte des Tages	4	3	6	3	-5	5	0	10	1	-21
Index 1 (ALTERNATIV)										
Symmetrien (0 - 0 UTC)	Mer 72 Ura Mak (04) H T A ? Jun 72 Var GaZ (08) A* A* A*(2/1) Mer 40p Jup Sat (19) A H ---	Ven 76 Chi Orc (03) H*(11,2) --- Orc 45 Ves Hau (13) A* T* A* 7 Mer 91 Eri Hau (13) A A ? ? Mer 20p Sat Plu (17) H A K + 7	Ven 45 Son Ura (01) A K H K? A + 7 Orc 45 Hau Mer (01) T* A A 7 Var 7 Son Ves (02) T A* --- Var 8 Son Mer (03) T A ---	Chi 70p Jun GSZ (02) A* T*(1,5) --- Var 143 GaZ Cer (03) A*(2/1) H* A* W* + 7 Sat 10p Ves Mer (06) A* H + 7	Mak 150p Mar Nep (02) H --- Ven 29 Ves Sed (09) A H H* --- Index 3! Mer 3 Ves Var (11) H A --- Index 3!	Cer 144 Jun Var (02) T* H* A* + 7? Cer 143 Jun Mer (21) T* A A ---	Nep 144 Son Hau (01) A W ? A ? Ven 30p Qua GaZ (15) T A - 7		Mer 9 Son Ves (06) H H --- Mar 40p Jun Hau (10) H A --- Var 5 Ves Mer (13) A* A --- GSZ 91 Ven Qua (14) A ? T ?	Plu 4 Jup Sat (15) H H*(4/2) --- Ven 68 Orc Eri (17) A*(2/3) --- Mer 7 Son Var (20) H A ---
Index 2 (12 - 12 UTC)	0	-7	7	14	0	0	-7	0	0	0
Index 2 ALTERNATIV										
ausgelöste Aspekte (= durch Konjunktionen aktivierte Aspekte)	Var 144 GaZ A*(2/1)	Var 144 GaZ A*(2/1)	Mer 30 Ven T-1 Ven 45 Ura H2 Ves 150 GaZ T-5 Var 144 GaZ A*(2/1)	Ves 150 GaZ T-5 Var 144 GaZ A*(2/1)	Ven 30 Sed H2 Ves 150 GaZ T-5 Var 144 GaZ A*(2/1)	Ves 150 GaZ T-5 Var 144 GaZ A*(2/1)	Mar 30 Nep H4 Cer 144 Var H5 Var 150 Qua T-11 Var 144 GaZ A*(2/1)	Mer 30 Nep H4 Var 144 GaZ A*(2/1)	Var 144 GaZ A*(2/1)	Var 144 GaZ A*(2/1)
Index 3 (Summe)	0	0	-4	-5	-3	-5	-7	4	0	0
Index 3 ALTERNATIV										
Symbol-Prognose	3	3	3	2	3	3	5	2	3	5
Symbol-Prognose altern.	3	3	3	2	3	3	5	2	3	5
Wochentag	Sa	So	Mo	Di	Mi	Do	Fr	Sa	So	Mo
Datum	1	2	3	4	5	6	7	8	9	10
reale Wetterlage	H1: 4H - 2T / 0		T1: 4H, 3H / +9	H2: 2H*, 3H - 2T*, T1, 2T / +5						T2: ---
Luftdruck (hPa) 06 UTC	1014,5	1014,5	1012,7	1014,7	1019,3	1019,6	1019,9	1020,1	1018,5	1014,3
mittl. Temp.(°C)	26,3	21,2	17,9	17,9	19,9	21,9	25	26,8	23	23,4
Sonnenscheindauer (h)	8,2	0,2	3,5	5,6	13,8	13,8	13,7	13,7	13,6	13
Niederschlag (Liter)	1,9	0,9	33,8 / 6	0	0	0	0	0	0	0
Bodenwetterlage 00 UTC (Kernlage des Druckgebiets, das SW-D beeinflusst)	T s Island	Azor-H, T ü Isl	T-System ü Nm	H ü Bisk	H ü S-D	H ü N-Polen	H ü Balti	H ü Balti	H ü Balti	T ü N-F
Bodenströmung 12 UTC zyklonal (z), antizyklonal (a)	fl a	fl a	fl z	a-z	a	a	a-z	a	fl a	fl a
Strömung auf 500 hPa 00 UTC	W a	W a-z	WSW z	NO z	NNO a-z	NW a	N a	N a	N fl a	SW fl z
zutreffende Wettersymbole	3 r	5 hr	5 hr	3-5 f	2 hr	2 hr	2 hr	2 f	2 hr	2 f

Übertrag	00:21	00:08	00:21	01:43	04:52	01:52	02:34	00:53	11:41	00:12
Index 1: +3	MER 72 URA	CER 135 VES	VEN 120 EL6	VEN 0 KN1	JUN 144 CER	VEN 30 SED	SON 150 PAL	CER 144 VAR	SON 45 GSZ	CER 45 ERI
Index 2: 0	KRE 22°36'14" STI 10°36'15" H ---	FIS 10°51'35" KRE 25°51'36" A ---	WAA 25°52'44" A ---	ZWI 26°48'07" A W	WAA 16°21'38" FIS 10°21'38" T ---	ZWI 28°35'06" STI 28°35'05" H +2	LÖW 15°03'28" STE 15°03'27" A	FIS 09°52'42" LÖW 03°52'43" H* +5	LÖW 17°20'18" WAA 02°20'19" A K?	FIS 09°31'22" WID 24°31'22" A*
	01:16	00:42	04:20	03:32	17:45	07:34	03:25	06:04	15:53	01:39
	SON 120 CHI LÖW 09°15'48" WID 09°15'48" A	VES 90 EL6 KRE 25°52'13" WAA 25°52'13" A	JUN 90 PAL WAA 15°50'33" STE 15°50'34" H* +5	VES 30 KN1 KRE 26°47'53" ZWI 26°47'53" A*	VES 180 SAT KRE 27°29'47" STE 27°29'47" A*	MAR 30 NEP WID 20°28'11" FIS 20°28'11" H +4	MER 0 VAR LÖW 03°51'26" LÖW 03°51'24" A	VES 60 SED KRE 28°35'40" STI 28°35'40" H* +5	MER 144 QUA LÖW 08°54'04" STE 02°54'05" H +1	SON 135 QUA LÖW 17°53'47" STE 02°53'47" Tf-9
	08:31	03:41	04:32	07:58	21:41	08:48	05:24	16:46	04:09	
	MER 72 MAK KRE 22°10'32" WAA 05°10'30" T-1	MER 90 ERI KRE 24°32'44" WID 24°32'42" A	MER 0 VES KRE 26°22'41" KRE 26°22'42" H --- Index 2 u. 3	VEN 180 GaZ ZWI 27°01'52" SCH 27°01'52" A	SON 72 EL6 LÖW 13°54'18" WAA 25°54'19" A	MER 60 GSZ LÖW 02°20'22" WAA 02°20'20" T-1	MER 144 CER LÖW 04°01'12" FIS 10°01'13" A	SON 60 JUN LÖW 17°32'29" WAA 17°32'29" T-3	VEN 90 GSZ KRE 02°20'20" WAA 02°20'19" A	
	09:36	05:58	10:37	09:22	11:45	17:31	17:36	11:58		
	CER 180 ORC FIS 10°56'55" JUN 10°56'55" A*	VES 45 ORC KRE 25°57'59" JUN 10°57'59" A*	MER 30 KN1 KRE 26°50'09" ZWI 26°50'07" A K?	MER 60 SED KRE 28°34'37" STI 28°34'36" A	SON 144 NEP LÖW 14°27'59" FIS 20°27'58" A W	MER 72 JUN LÖW 05°01'10" WAA 17°01'10" A	MAR 0 APO WID 21°48'06" WID 21°48'06" Tf-10	MER 72 SED LÖW 10°36'13" STI 28°36'12" A		
	10:53	09:58	12:11	13:09	12:54	20:36	18:04	12:53		
	MER 180 PLU KRE 23°20'33" STE 23°20'35" A K	SON 72 SED LÖW 10°33'60" STI 28°33'60" A K	URA 60 CER STI 10°37'53" FIS 10°37'53" A*	MAR 90 JUP WID 19°44'37" STE 19°44'37" A	MER 144 KN2 LÖW 02°40'19" SCH 26°40'17" A	MER 60 F19 LÖW 05°16'29" WAA 05°16'27" A	MER 120 CHI LÖW 09°05'09" WID 09°05'07" A	MER 90 URA LÖW 10°40'54" STI 10°40'51" H +1		
	11:11	11:19	13:12	16:19	14:30	22:32	23:19	18:13		
	VEN 60 ERI ZWI 24°32'48" WID 24°32'47" H +2	SON 90 URA LÖW 10°37'13" STI 10°37'14" A	MER 150 GaZ KRE 27°01'52" SCH 27°01'52" T* -5	VES 150 GaZ KRE 27°01'52" SCH 27°01'52" T* -5	VEN 72 ORC ZWI 29°03'33" JUN 11°03'32" A	MER 135 NEP LÖW 05°26'07" FIS 20°26'07" A K	MER 150 CER LÖW 09°31'46" A	VEN 180 QUA KRE 02°53'16" STE 02°53'15" T-4		
	22:32	15:00	17:25	22:08	18:13	18:13	18:23			
	CER 135 EL6 FIS 10°52'11" WAA 25°52'11" A*	SON 150 CER LÖW 10°46'02" FIS 10°46'01" H K? +3	SON 45 KN1 LÖW 11°49'13" ZWI 26°49'13" H +3	VEN 150 SAT ZWI 27°33'11" STE 27°33'12" A W	MER 150 QUA LÖW 02°56'30" STE 02°56'28" A			MER 30 ORC LÖW 11°08'58" JUN 11°09'00" H +2		
	17:17	21:01	21:01		17:19			21:48		
	VEN 45 URA ZWI 25°37'24" STI 10°37'24" H K? +2	MER 180 SAT KRE 27°37'34" STE 27°37'36" H ---			MER 144 GaZ LÖW 03°01'53" SCH 27°01'51" A			MER 45 KN1 LÖW 11°26'25" ZWI 26°26'24" A		
	19:28	22:42	22:42							
	MER 30 VEN KRE 25°42'09" ZWI 25°42'08" T K -1	SON 135 GaZ LÖW 12°01'52" SCH 27°01'52" A								
	19:34	23:42	23:42							
	JUN 72 VAR WAA 15°44'60" LÖW 03°44'60" A*	VEN 30 VES ZWI 26°43'41" KRE 26°43'41" A*								
	19:55									
	MER 135 CER KRE 25°44'09" FIS 10°44'09" A									
	20:19									
	SON 30 ORC LÖW 10°58'45" JUN 10°58'44" A									
	21:50									
	MER 90 EL6 KRE 25°52'41" WAA 25°52'40" A									
	23:13									
	MER 45 ORC KRE 25°58'51" JUN 10°58'53" A									

**August 2020**  **Prognose für SW-Deutschland**  
 (aktualisierter Index 3)

Vom 1. - 18. **Kn2 0° GaZ A\***, vom 3. - 5. **Venus 0° Kn1 A**, am 7. **Merkur 0° Varuna A**, vom 7. bis 13. **Mars 0° Apo T**, vom 15. bis 21. **Mars 0° Eris A**, am 17./18. **Merkur 0° Sonne H**, vom 19. - 23. **Vesta 0° Varuna A\***, vom 25. - 31. **Eris 0° Apo A\***, vom 26. **Merkur 0° Orcus A**.  
 Die rot markierten Aspekte im Index 3 sind Aspekte, bei denen der ursprüngliche Konjunktionsplanet den höheren Rang hat als der Partnerplanet. Das bedeutet, dass der Konjunktionsplanet bei diesen Aspekten immer als Planet 2 auftritt. Diese Aspekte werden ab Januar 2020 nicht mehr angerechnet.

Langsamläufer-Impulse			H*					2H*	2H*		
Schnellläufer-Impulse			3T	2H	Hf, 2T, H	T	3T	4T, 2H	H, 2T		
Temperaturimpulse	K	W, W*, K?, W?			W	K	K?, 3W	W, K?, K		K*	
Premeteo-Index - zyklonal, + antizyklonal (Index 1+2+3)	-2	-20	11	8	1	3	-3	8	5	0	
Pre.IX (ALTERNATIV)							4				
Index 1 (12 - 12 UTC) exakte Aspekte des Tages	-2	-6	7	8	1	-4	0	11	5	0	
Index 1(ALTERNATIV)											
Symmetrien (0 - 0 UTC)	Hau 67 Son Qua (06) TI --- Son 149 Jup Nep (22) A K A A* W* --- Son 46 Ven Mak (22) A K T H-7	Nep 144 Hau Mer (12) ? * T W A-7	Jun 74 Var Qua (00) Tat --- Ven 80p Pal GaZ (12) H A --- Cer 46 Plu Eri (20) A* A* A*(4/5) ---	Hau 67 Qua Mer (16) HI --- Mer 149 Jup Nep (20) T A K A* W* --- Index1!	Cer 45 Mar Plu (14) H A* A-7	Ven 50p Pal Qua (07) H T ---	Ves 144 GaZ Cer (08) H* A* A* W* +7 Hau 61 Son GaZ (12) T ? * A-7/0 Hau 61 GaZ Mer (14) ?? A A ? Ves 23 Ven Mer (23) T K ---	Mar 16 Ura Chi (15) H* (8/3) --- Ven 80p Jup Qua (17) H T --- Var 23 Ven Mer (20) T K ---	Ven 60 Ura Orc (03) A A T*(4/7)?		
Index 2 (12 - 12 UTC)	0	-14	0	0	0	7	0	0	0	0	
Index 2 ALTERNATIV							7				
ausgelöste Aspekte (= durch Konjunktionen aktivierte Aspekte)	Var 144 GaZ A*(2/1)	Var 144 GaZ A*(2/1)	Mar 45 Cer H4 Var 144 GaZ A*(2/1)	Var 144 GaZ A*(2/1)			Mer 120 Eri H1 Son 135 Chi T-3 Ves 144 GaZ H5 Hau 60 GaZ ?*	Son 60 Hau T-3 Ves 144 GaZ H5 Hau 60 GaZ ?*		Nep 135 Var H*(11/3,5) +10	
Index 3 (Summe)	0	0	4	0	0	0	-3	-3	0	0	
Index 3 ALTERNATIV											
Symbol-Prognose	3	5	2	3	3	3	3	3	3	3	
Wochentag	Di	Mi	Do	Fr	Sa	So	Mo	Di	Mi	Do	
Datum	11	12	13	14	15	16	17	18	19	20	
reale Wetterlage	Tf, 6T - H*, Hf, 5H / -24				H3: T / +1	T3: 7T - 2H*, 2H / 0		H4: 2H*, H - 2T / +13		T4: --- / 0	
Luftdruck (hpa) 06 UTC	1015,1	1014,7	1013,2	1015,1	1015,7	1011,5	1011,8	1013,2	1012,3	1010,1	
mittl. Temp.(°C)	26,4	24,6	19,3	21,6	22,4	23,3	21,1	21,4	22,2	26,1	
Sonnenscheindauer (h)	8,7	9,1	1,1	2,1	12,3	11,5	5,2	8,3	9,1	11,4	
Niederschlag (Liter)	0	0 / 35	4,6 / 1,5	8,6 / 5	0	22,7	0,1 / 36	0 / 1	0	0	
Bodenwetterlage 00 UTC (Kernlage des Druckgebiets, das SW-D beeinflusst)	T ü W-F	T ü NW-F	T ü Benel	T ü NL	Azor-H-Keil	T ü N-Bisk u O-Pyrenäen	T ü Ärmel	H ü Pyrenäen	H ü S-D	T bei Irl	
Bodenströmung 12 UTC zyklonal (z), antizyklonal (a)	z	z	a	fl z	fl a	fl z	fl z	fl z	a-z	a-z	
Strömung auf 500 hpa 00 UTC	WNW a	SW a	SW z	SW fl z	NW fl a	SW fl a	SW fl z	SW fl z	NW a-z	W a	
zutreffende Wettersymbole	2-3 hr	2-3 f	5 f	5 hr	2 hr	2 hr	3-5 r	3 r	3 r	2 hr	

04:44	03:28	03:58	00:49	05:15	07:58	00:00	01:45	03:50	01:00
MER 135 GaZ LÖW 12°01'52" SCH 27°01'51" A	MER 72 EL6 LÖW 13°58'20" WAA 25°58'19" A	SAT 72 CHI STE 26°59'59" WID 08°59'59" A*	MER 135 QUA LÖW 17°50'55" STE 02°50'53" Hf +7	MER 150 NEP LÖW 20°16'17" FIS 20°16'17" A K	MER 120 APO LÖW 22°32'12" WID 22°32'13" T-1	VEN 90 CHI KRE 08°53'38" WID 08°53'38" A W	MER 60 EL6 LÖW 26°02'50" WAA 26°37'52" A	SON 150 SAT LÖW 26°37'53" STE 22°57'00" A*	PLU 90 APO STE 22°57'00" A*
06:36	05:43	07:16	06:15	06:46	08:01	00:03	01:54	03:52	15:19
SON 150 JUP LÖW 19°03'13" STE 19°03'13" A K	MER 150 PAL LÖW 14°09'52" STE 14°09'51" T-1	MAR 90 PLU WID 23°05'00" STE 23°05'00" A	JUP 90 JUN STE 18°46'44" WAA 18°46'44" A*	MER 45 MAK LÖW 20°24'02" WAA 05°24'03" T-2	SON 135 CHI LÖW 23°54'46" WID 08°54'46" T K?-3	MER 135 CHI LÖW 23°53'35" WID 08°53'37" T K?-3	MER 60 KN1 LÖW 26°03'35" ZWI 26°03'00" H ---	MER 135 PAL LÖW 28°13'02" STE 13°13'02" A	SON 135 PAL LÖW 28°03'18" STE 13°03'19" A
21:49	07:45	08:54	11:30	10:14	08:56	00:07	06:32	06:00	
VEN 30 VAR KRE 03°58'22" LÖW 03°58'22" A	MER 144 NEP LÖW 14°20'18" FIS 20°20'19" T W-2	VEN 90 MAK KRE 05°22'00" WAA 05°22'01" H +2	MER 150 JUP LÖW 18°45'36" STE 18°45'34" T ---	SON 150 PLU LÖW 23°02'25" STE 23°02'25" A	VEN 120 CER KRE 08°16'39" FIS 08°16'38" A W	MER 45 VEN LÖW 23°53'55" KRE 08°53'55" T K ---	<b>HAU 120 KN1</b> WAA 26°03'00" ZWI 26°03'00" A*	NEP 150 JUN FIS 20°10'27" WAA 20°10'27" A* K*	
23:52	09:43	18:51	12:34	22:19	09:31	04:40	09:18	08:51	
VEN 72 APO KRE 04°03'14" WID 22°03'13" A	SON 144 PAL LÖW 20°08'16" STE 14°08'16" A	MER 45 GSZ LÖW 17°20'20" WAA 02°20'19" H +1	MER 60 JUN LÖW 18°51'04" WAA 18°51'05" A	PAL 135 SED STE 13°37'17" STI 28°37'16" A*	VES 144 KN2 LÖW 02°08'59" SCH 26°08'58" A*	<b>CER 72 KN2</b> FIS 08°06'26" SCH 26°06'26" H* +5	MER 150 SAT LÖW 26°40'36" STE 26°40'36" T-1	MER 90 SED LÖW 28°37'44" STI 28°37'46" A	
	14:34		13:16		13:40	05:30	10:04	11:22	
	SON 150 NEP LÖW 20°19'55" FIS 20°19'55" A		VEN 72 ERI KRE 06°30'20" WID 24°30'19" A		MER 150 PLU LÖW 23°01'05" STE 23°01'02" A		<b>VES 144 GaZ</b> LÖW 03°01'49" SCH 27°01'50" H* +10	VEN 60 ORC KRE 11°20'52" JUN 11°20'53" A	
	14:36		17:10		14:02	07:11	12:59	12:52	
	CER 72 GaZ FIS 09°01'50" SCH 27°01'50" A* W*		SON 120 APO LÖW 22°21'25" WID 22°21'24" A W		SON 120 MAR LÖW 24°09'14" WID 24°09'14" A W	MER 120 ERI LÖW 24°29'34" WID 24°29'36" H +1	SON 60 KN1 LÖW 26°02'09" ZWI 26°02'09" A W	MER 144 PLU LÖW 28°57'37" STE 22°57'35" A	
	15:07		19:45		14:06	07:31	13:26	13:47	
	SON 45 MAK WID 20°21'14" WAA 05°21'15" T K?-3		MAR 45 CER WID 23°35'34" FIS 08°35'34" H +4		CER 144 VES FIS 08°13'58" LÖW 02°13'58" A*	MER 144 JUP LÖW 24°31'14" STE 18°31'14" T ---	SON 60 HAU LÖW 26°03'14" WAA 26°03'15" T-3	SON 120 GaZ LÖW 27°01'50" SCH 27°01'50" A	
	16:26		23:11		19:56	15:09	13:33		
	SAT 30 GaZ STE 27°01'50" SCH 27°01'50" A*		MER 144 PAL LÖW 19°45'20" STE 13°45'17" T-1		VES 60 GSZ LÖW 02°20'19" WAA 02°20'19" A*	<b>MER 0 SON</b> LÖW 25°09'39" LÖW 25°09'38" H ---	MER 120 GaZ LÖW 27°01'49" SCH 27°01'50" A		
	16:56				22:33	16:42	16:05		
	<b>CER 30 CHI</b> FIS 09°00'42" WID 09°00'42" H* +5				SON 120 ERI LÖW 24°29'43" WID 24°29'42" A	<b>MAR 0 ERI</b> WID 24°29'29" A*	<b>CER 45 APO</b> FIS 07°47'51" WID 22°47'50" H* +5		
	22:44				23:50	17:38	19:28		
	VEN 72 MAR KRE 04°57'40" WID 22°57'40" A W?				SON 144 JUP LÖW 24°32'48" STE 18°32'47" T W-6	PLU 45 CER STE 22°59'40" FIS 07°59'40" A*	VEN 60 URA KRE 10°41'13" STI 10°41'14" A		
						21:41			
						<b>VES 150 QUA</b> LÖW 02°48'21" STE 02°48'21" H* +5			

August 2020



Prognose für SW-Deutschland

aktualisierter Index 3

Vom 1. - 18. Kn2 0° Ga2 A', vom 3. - 5. Venus 0° Knt A, am 7. Merkur 0° Varuna A, vom 7. bis 13. Mars 0° Apo T, vom 15. bis 21. Mars 0° Eris A, am 17./18. Merkur 0° Sonne H, vom 19. - 23. Vesta 0° Varuna A', vom 25. - 31. Eris 0° Apo A', vom 26. Merkur 0° Orcus A.

Die rot markierten Aspekte im Index 3 sind Aspekte, bei denen der ursprüngliche Konjunktionsplanet den höheren Rang hat als der Partnerplanet. Das bedeutet, dass der Konjunktionsplanet bei diesen Aspekten immer als Planet 2 auftritt. Diese Aspekte werden ab Januar 2020 nicht mehr angerechnet.

Langsamläufer-Impulse		?. H*			H*		T*	H*			H*
Schnellläufer-Impulse	2H, T	H, Tf	H, T	2T, H, Tf	3T, H	2H		2T	T, H	T, 2H	3H, Hf
Temperaturimpulse	K?				K		W	W, K		W, 2K?	K
Premeteo-Index -zyklonal, + antizyklonal (Index 1+2+3)	2	-16	12	-15	-36	4	8	-5	0	4	17
Pre.IX (ALTERNATIV)		-23									
Index 1 (12 - 12 UTC) exakte Aspekte des Tages	2	-9	-2	-1	-15	8	-6	-5	0	4	10
Index 1 (ALTERNATIV)											
Symmetrien (0 - 0 UTC)	Mer 144 Sat Chi (10) H A A' --- Cer 4op Orc Mer (14) A' T --- Mer 29 Var GSZ (18) H A ? +70	Ven 46 Son Sed (05) A K A T -14 Mer 31 Var Mak (14) H A ? +7	Mer 6 Son Orc (03) H A --- Ven 5op Jup Pal (12) H H +14	Mer 134 Plu Eri (14) T T ? -14	Son 144 Sat Chi (05) T A A' --- Sat 90 Mar Hau (07) T T (4/12/4) A-14 Cer 4op Son Mer (06) A T --- Mer 135 Sat Eri (12) A W ? T A'(11/6) -7 Ven 5op Plu Pal (18) H H ---	Mer 135 Mar Sat (01) H A W? T +7 Son 29 Var GSZ (02) A A ? --- Mer 121 Ura Pal (04) T K? H A ? ? Sat 5op Ven Var (04) A A ? ? ? Cer 150 Ves Mak (13) H A A' A' +7 Mer 7op Nep Cer (22) A T ---	Ven 7op Sat Pal (07) A K H # Orc 135 Mar Sat (18) A H' T +7 Son 31 Var Mak (20) H A --- Ven 2op Jup Plu (05) H H --- Index 1	Orc 5 Son Mer (02) H A --- Ven 4op Jup Sat (18) H A K ---	Ven 73 Ura Mak (22) A H ? +7	Cer 149 Var Mak (03) A A' ? --- Son 134 Plu Eri (13) H T A?(4/3) ?	
Index 2 (12 - 12 UTC)	0	-7	14	-14	-21	7	14	0	0	0	7
Index 2 ALTERNATIV		-14									
ausgelöste Aspekte (= durch Konjunktionen aktivierte Aspekte)	Nep 135 Var H'(11/3,5) +10	Mer 30 Var H' Nep 135 Var H'(11/3,5) +10	Nep 135 Var H'(11/3,5) +10		Mer 135 Eri T-1	Sat 135 Orc H7 Ura 120 Orc T-9 Orc 45 Hau T-11				Mer 144 Eri H1	
Index 3 (Summe)	0	0	0	0	0	-11	0	0	0	0	0
Index 3 ALTERNATIV											
Symbol-Prognose	3	3	3	3	3	3	3	3	3	3	2
Wochentag	Fr	Sa	So	Mo	Di	Mi	Do	Fr	Sa	So	Mo
Datum	21	22	23	24	25	26	27	28	29	30	31
reale Wetterlage	H5: 2H - T / +2	T5: T-H, H-? / -16	H6: H*, SH - T*, 2T1, 6T / -27					T6: 2T - H* / -5	H7: H - T / 0	T7: T - H*, Hf, 5H / +21	
Luftdruck (hpa) 06 UTC	1010,6	1018,3	1019	1018,4	1015,4	1013,5	1019	1007,3	1006,7	1017,2	1017,2
mittl. Temp.(°C)	26,6	22,6	20,2	18,7	19,8	22,6	18,3	17,7	17,7	14,5	15,7
Sonnenscheindauer (h)	9,8	5	5,2	7,7	2,6	12,2	5,2	0,6	1	0	6,6
Niederschlag (Liter)	2,4	0,1 / 5	0	0	0	0	0	9,9 / 6	0,2	24,9 / 19	5,1 / 16
Bodenwetterlage 00 UTC (Kernlage des Druckgebietes, das SW-D beeinflusst)	H ü Balk	T-System mit Kernen w Schottl, ü D	H mit Kernen ü N-Iber, CH	H ü S-D, T ü Nm, N-Skand	H ü SW-D	T ü Nsee	H ü W-F	T ü Gber	T ü Nsee	fH-p zw T ü NW-D, Osee u T ü GG	T ü O-Eu
Bodenströmung 12 UTC zyklonal (z), antizyklonal (a)	fl a	fl z	a	a	a-z	a	a	a-z	a	z	z
Strömung auf 500 hpa 00 UTC	SW a	SW a-z	SW z	W z	NW a-z	W a-z	W a-z	SW fl a	SW z	SW z	W z
zutreffende Wettersymbole	2-3 hr	3-5 r	3 hr	3 hr	3-5 r	2-3 hr	3 r	5 hr	5 hr	5 hr	3 hr

02:05	01:11	03:08	01:57	01:08	02:25	03:25	06:05	13:29	08:04	08:55
<b>VES 0 VAR</b> LOW 04°11'24" LÖW 04°11'24" A*	<b>Nep 144 HAU</b> FIS 20°06'15" WAA 26°06'15" A*	Nep 135 VES FIS 20°04'36" LÖW 05°04'36" A*	Mer 72 KNI JUN 07°44'34" ZWI 25°44'33" A	Son 144 SAU JUN 02°18'17" STE 26°18'16" T-3	<b>Mer 0 ORC</b> JUN 11°30'12" JUN 11°30'11" A	Son 30 VAR JUN 04°19'36" LÖW 04°19'37" A	Ven 72 GSZ KRE 20°20'19" WAA 02°20'18" T-4	Mer 120 JUP JUN 17°44'25" STE 17°44'26" A	Son 72 KNI JUN 07°24'42" ZWI 25°24'41" A	Son 150 CHI JUN 08°24'45" WID 08°24'46" A
02:58	05:30	08:16	03:38	01:58	03:49	08:35	07:16	17:25	09:43	11:01
<b>Ven 180 PAL</b> KRE 13°00'19" LÖW 13°00'19" H+4	Mer 30 VAR JUN 04°12'57" LÖW 04°12'58" H+1	Mer 45 JUN JUN 06°20'54" LÖW 21°20'56" H---	Mer 135 PLU JUN 07°52'30" STE 22°52'30" T-1	Son 30 GSZ JUN 02°20'18" WAA 02°20'18" H---	Mer 135 MAR JUN 11°36'38" WID 26°38'39" H---	<b>SAT 90 HAU</b> STE 26°11'14" WAA 26°11'14" T(4/12/4) -7	<b>JUN 90 PLU</b> STE 22°48'18" WAA 22°48'17" H* +5	<b>Mer 144 APO</b> JUN 18°01'45" WID 24°01'44" T---	Ven 72 URA JUN 18°24'02" ZWI 19°36'04" A K?	Ven 72 MAK JUN 23°43'04" WAA 05°43'05" H+2
05:43	13:05	13:14	04:52	09:10	16:01	17:53	09:38	22:47	12:12	12:00
Son 90 SED LÖW 28°37'58" STI 28°37'58" T-3	Mer 30 VES JUN 04°49'22" LÖW 04°49'22" A	<b>Mer 180 CER</b> FIS 06°44'31" WAA 21°35'54" T-2	Cer 135 JUN FIS 06°35'55" WAA 21°35'54" A	Son 144 CHI JUN 02°37'40" WID 08°37'40" A	Mer 120 PAL JUN 12°32'33" STE 12°32'33" H+1	JUN 144 SED WAA 22°38'22" STI 28°38'22" A	Mar 120 GaZ WID 27°01'48" JUN 18°25'21" T-4	Mer 144 ERI JUN 18°25'21" WID 24°25'21" H+1	Mer 45 VAR JUN 19°24'02" LÖW 04°24'01" A	Ven 90 JUN KRE 23°45'41" WAA 23°45'40" A
06:12	14:28	22:15	06:30	11:53	21:14	10:56	13:32	13:32	12:15	12:15
Mer 30 GSZ JUN 02°20'17" WAA 02°20'18" Tf-10	<b>Mar 60 KNI</b> WID 25°49'14" ZWI 25°49'15" A	<b>Mar 180 HAU</b> WID 26°07'57" WAA 05°34'15" A	Ves 60 F99 LÖW 05°34'15" WAA 05°34'15" A	Son 120 QUA JUN 02°44'13" STE 02°44'12" A	Ven 120 NEP KRE 19°57'10" FIS 19°57'11" TW-2	Cer 150 Fy9 FIS 05°39'20" WAA 05°39'20" A	<b>Ven 180 PLU</b> KRE 22°46'10" STE 22°46'09" H K? +4	<b>Ves 144 QUA</b> LÖW 08°41'47" STE 02°41'47" H* +5		
08:16	18:56	10:52	13:43	15:19	12:10	12:29	16:54	17:49	18:56	18:56
Mer 144 SAT JUN 02°30'19" STE 26°30'20" H+1	<b>SAT 135 ORC</b> STE 26°25'31" JUN 11°25'31" H* ---	Mer 135 APO JUN 08°26'29" WID 23°26'29" H---	Mer 135 ORC WID 26°29'26" JUN 11°29'26" A	Mer 120 URA JUN 10°39'00" STI 10°38'58" T K-1	Son 180 CER JUN 05°38'39" FIS 05°38'38" A	Son 30 Fy9 JUN 05°39'25" WAA 05°39'25" A	Son 135 PLU JUN 07°46'03" STE 22°46'02" H+3	Mer 144 MAR JUN 21°32'11" WID 27°32'09" H+1	Mer 30 VES JUN 08°48'58" FIS 19°52'34" A	Son 30 VES JUN 08°48'58" FIS 19°52'34" A
08:17	22:08	13:37	15:19	15:19	12:29	12:29	18:45	18:56	20:05	20:05
JUN 72 QUA WAA 20°46'19" STE 02°46'19" A*	Mer 30 Fy9 JUN 05°32'39" WAA 05°32'40" A	Mer 150 CHI JUN 08°39'20" WID 08°39'20" A	Mer 120 URA JUN 10°39'00" STI 10°38'58" T K-1	Son 30 Fy9 JUN 05°39'25" WAA 05°39'25" A	Son 180 CER JUN 05°38'39" FIS 05°38'38" A	Son 30 Fy9 JUN 05°39'25" WAA 05°39'25" A	Mer 180 NEP JUN 19°52'33" FIS 19°52'34" A	Son 30 VES JUN 08°48'58" FIS 19°52'34" A	Chi 120 VES WID 08°25'51" LÖW 08°25'50" A*	Son 45 JUN JUN 08°51'45" WAA 23°51'46" H --- Index 1 Sep 20
11:23	11:33	18:23	16:55	19:40	12:55	23:49	23:44	23:44	23:12	23:12
Mer 144 CHI JUN 02°45'27" WID 08°45'26" A	Mer 120 QUA JUN 02°46'15" STE 02°46'15" A	Mer 135 ERI JUN 09°27'11" WID 24°27'10" T-1	Ves 150 CER FIS 06°14'28" LÖW 06°14'28" H* +5	Son 135 JUP JUN 02°56'21" STE 17°56'20" Tf-10	Ven 135 CER KRE 20°38'12" FIS 05°38'13" A	Son 45 VEN JUN 06°06'47" KRE 21°06'47" A K	<b>Ven 90 APO</b> KRE 24°16'51" WID 24°16'52" H K +8	<b>Ven 90 APO</b> KRE 24°16'51" WID 24°16'52" H K +8	Mer 135 JUP JUN 03°11'31" STE 18°11'31" A	Ven 45 SED KRE 13°38'01" STE 28°38'01" A
12:55	16:46	22:27	22:27	23:12	23:12	23:12	23:12	23:12	23:12	23:12
Son 144 PLU LÖW 28°55'19" STE 22°55'20" A K?	Mer 135 JUP JUN 03°11'31" STE 18°11'31" A	Ven 150 CER FIS 06°14'28" LÖW 06°14'28" H* +5	Ura 45 KNI STI 10°38'51" ZWI 25°38'51" A*	Mer 45 HAU JUN 11°09'52" WAA 26°09'50" T-1	<b>Ven 180 JUP</b> KRE 17°55'32" STE 17°55'33" H+4	Mer 135 SAT JUN 11°15'24" STE 26°15'25" A W?	Mer 135 SAT JUN 11°15'24" STE 26°15'25" A W?	Mer 135 SAT JUN 11°15'24" STE 26°15'25" A W?	Mer 135 SAT JUN 11°15'24" STE 26°15'25" A W?	Mer 135 SAT JUN 11°15'24" STE 26°15'25" A W?

## August 2020: Fehlprognosen

Datum	Vorzeichen Symbol	Analyse
2.	-4 5 hr	Tief Ellen mit Kern südlich von Island. <b>Einzelner, negativer Tag, flacher Index.</b>
3.	+9 5 hr	Tiefdrucksystem Ellen mit Kernen über Island und Nordmeer. Es wurde über Südwestdeutschland um einen Tag verspätet wetterwirksam. <b>Flacher Index.</b>
5.	-8 2 hr	Hoch Detlef mit Kern über Süddeutschland. <b>Flacher Index, einzelner, negativer Tag.</b>
7.	-14 2 f	Hoch Detlef über Baltikum. <b>Einzelner, negativer Tag.</b> Die negativen Werte stammen nur aus Index 2 und 3.
13.	+11 5 f	Tief Heike über Benelux. Am Vortag Premeteo-Index von -20. Die zyklonale Strömung durch das sich fast stationär verhaltende Tief Heike blieb weiter erhalten.
14.	+8 5 hr	Tief Heike über Niederlande. <b>Flacher Index.</b>
24.	-15 3 hr	Hoch Gundmar mit Kernen über Biskaya und Süddeutschland. Am Vortag Premeteo-Index von +12 durch die Symmetrie Venus 3op Jupiter Pallas (12 UTC) H H +14. Die Opposition von Venus mit Jupiter wird erst am 25. exakt, mit Pallas war sie schon am 21. exakt geworden.
25.	-36 3-5 r	Hoch Gundmar über Südwestdeutschland. Möglicherweise hat Vesta 150° Ceres H* einen starken Lokalbezug. Im Verlauf des Luftdrucks zeichnete sich der Premeteo-Index nur sehr schwach ab, wobei der Luftdruck sein Minimum in Übereinstimmung mit dem geglätteten Premeteo-Index ausbildete. Hoch Gundmar verblieb - sich abschwächend - mit seinem Kern im süddeutschen Raum, während sich im Norden Sturmtief Kirsten mit Kern bei Irland langsam nach Osten bewegte und mit seinen Wolkenfeldern allmählich ganz Deutschland überzog, aber im Südwesten keinen Niederschlag brachte. Noch um 12 UTC war die Strömung antizyklonal gewesen, erst um 0 UTC des 26. hatte der Isobarenbereich von Tief Kirsten auch Südwestdeutschland umfasst.
30.	+4 5 hr	Flache Hochdruckzone zwischen Tief Lynn im Norden und Tief Marlis über dem Golf von Genua. Um 12 UTC hatte sich über unserer Region schon eine zyklonale Strömung eingestellt, die um 0 UTC des 30. in den Isobarenbereich von Tief Marlis mit Kern über Osteuropa übergang. <b>Flacher Index.</b>
31.	+17 3 hr	Tief Marlis mit Kern über Osteuropa. der Luftdruck stieg vom 30. zum 31. kräftig an, aber Merkur 144° Apogäum T um 17:25 UTC des 29. schien in Verbindung mit Merkur 45° Varuna T um 12:12 UTC des 30. wirksamer zu sein als Merkur 144° Eris H. Die antizyklonale Strömung konnte sich erst einen Tag verspätet am 1. September durchsetzen.

## Monatsauswertung (Lahr)

Aug 20

### H-Wetterlagen

	Anzahl der Wetterlagen	Anzahl der Tage	Niederschlag in Liter	H*	Hf	H	T*	Tf	T	L
normal	5	12	5,4 / 1	4	0	11	2	1	8	0
anormal	2	6	0 / 0	1	0	5	1	2	7	0
gesamt	7	18	5,4 / 1	5	0	16	3	3	15	0

Verhältnis H/Tage = 21/18 = 1,17  
Verhältnis T/Tage = 21/18 = 1,17

### T-Wetterlagen

	Anzahl der Wetterlagen	Anzahl der Tage	Niederschlag in Liter	H*	Hf	H	T*	Tf	T	L
normal	2	2	9,9 / 6	1	0	0	0	0	2	0
anormal	5	11	96,1 / 157,5	6	2	16	0	2	14	1
gesamt	7	13	106,0 / 163,5	7	2	16	0	2	16	1

Verhältnis H/Tage = 25/13 = 1,92  
Verhältnis T/Tage = 18/13 = 1,39

ganzer Monat	Anzahl der Wetterlagen	Anzahl der Tage	Niederschlag in Liter	H*	Hf	H	T*	Tf	T	L
	14	31	109,4 / 164,5	12	2	32	3	5	31	1

Gesamtzahl H-Aspekte: 46  
Gesamtzahl T-Aspekte: 39  
Zahl aller Aspekte: 215  
Quotient H/T = 1,18  
Gesamtzahl L-Aspekte: 1

Niederschlag Durbach: s.o. hinter Schrägstrich

r = richtig hr = halbrichtig f = falsch

Symbolprognose in Tagen	8 r 18 hr 5 f
-------------------------	---------------

Premeteo-Index pro Tag	HWL -8/18 = -0,33	TWL -15/13 = -1,15
------------------------	-------------------	--------------------

bezüglich des Vorzeichens richtige Tage	21	bezüglich des Vorzeichens falsche Tage	10
---	----	--	----

Bei der Auswertung des Januar 2017 wurde entdeckt, dass im Index 3 möglicherweise nur dann Auslösungsaspekte aktiviert werden, wenn der Konjunktionsplanet einen Aspekt mit einem Planeten bildet, der einen höheren Rang hat als der betroffene Konjunktionsplanet selbst. Dies bestätigte sich im Laufe des ganzen Jahres 2017. Manchmal entstand der Eindruck, dass die im korrigierten Index 3 nicht mehr angerechneten Aspekte auf 500 hpa zum Teil doch anwesend waren. Ab Januar 2018 werden nur noch die im Index 3 korrigierten Prognosen ausgewertet.